

539.21

• • , • •

Ti-Cr-N

(), , -

3

Ti-Cr-N

3 %-
 $t = 20^\circ$

[1].

NaCl (pH 7)

50 / .

LEO 1455 VP.
 3.

$Ti_{1-x}Cr_xN$ ($0,36 < x < 0,64$),

() ,

$Ti_{1-x}Cr_xN$ ($0,36 < x < 0,64$)

$iE-$

3

Ti Cr,

($i=0 / 2$)

3 () .
 -600

$Ti_{0,64}Cr_{0,36}N/ 3$

2,4

$Ti_{0,36}Cr_{0,64}N$ $Ti_{0,60}Cr_{0,40}N$.

$iE-$

[2].

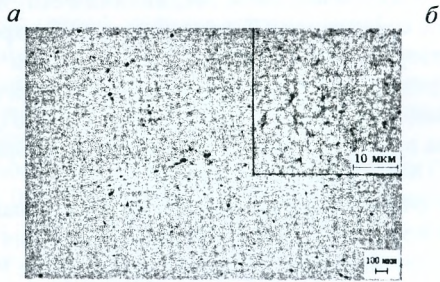
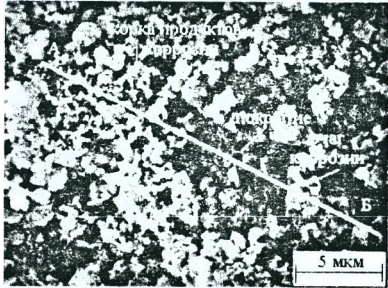
« / » ($TiCrN$ 3,0-3,4) 3 %
 NaCl

	($i=0 / 2$)	$i, / 2$ (= -0,4)
3	-550	8,9
$i_{0,36} r_{0,64}N/ 3$	-640	8,8

$i_{0,60} r_{0,40}N/ 3$	-610	8,3
$i_{0,64} r_{0,36}N/ 3$	-640	6,2

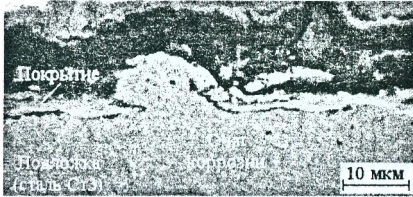
$Ti_{1-x}Cr_xN$ (0,36 < x < 0,64) 3 % NaCl
 $Ti_{0,64}Cr_{0,36}N$,
 $Ti_{1-x}Cr_xN$ (0,36 < x < 0,64), 3, -
 NaCl -
 $FeCl_2$ $FeCl_3$ [3].
 1-
 $Ti_{1-x}Cr_xN$ (0,36 < x < 0,40), -
 1,5 -
 $Ti_{1-x}Cr_xN$ (0,36 < x < 0,64) -
 3 % NaCl , -
 1 - $Ti_{0,60} r_{0,40}N$. -
 (1, ,). -
 (1,), -
 (1, ,). -
 9.302-88, $Ti_{0,36}Cr_{0,64}N$, -
 (60-65 $Ti_{0,60}Cr_{0,40}N$ -
 $Ti_{0,64}Cr_{0,36}N$ 6-8 ,

$U_b - 120$ [4].



1 - (,) $Ti_{0,60}Cr_{0,40}N/C$ 3
 3 %- $NaCl$
 K_1 , ,
 () () ;
 $Ti_{0,60}Cr_{0,40}N/C$ 3 ;

2, ,
 $Ti_{0,36}Cr_{0,64}N$



а б

« / »

3 %- NaCl:

$Ti_{0,36}Cr_{0,64}N$ 3; $Ti_{0,64}Cr_{0,36}N/C$ 3

$Ti_{0,36}Cr_{0,64}N$ $Ti_{0,64}Cr_{0,36}N$

(2,).

$Ti_{1-x}Cr_xN$ ($0,36 < x < 0,64$) 3

1,5 (3 %- NaCl) 3.

« / 3»

(), (, ,)

$Ti_{1-x}Cr_xN$ ($0,36 < x < 0,40$)

6-8 [4-6],

TiCrN 15 [7],

1. / - / : - , 2003. - 19 .

2. - / [. . .] // . - 2007. - . 6, . 15. - . 71-74.

3. , / , - : , 1971. - 280 .

4. , / , - // . - 2011. - 4. - . 104-109.

5. , - , 15 6 / [. . .] // 2007. - . 17, 4. - . 281-284.

6. Thermal stability of nitride coatings formed by ion-plasma deposition / V. V. Uglov [et al.] // Vacuum. - 2007. - Vol. 81. - P. 1345-1347.

7. - / [. . .] // 2008. - 1 (47). - . 37-43.